

$\deg_v P_L(v, z)$ と Seifert circles の最小数

東女大文理 小林一章 (Kazuaki Kobayashi)

§0. Introduction

山田[Y]は L の braid index, $b(L)$, と L の diagram \tilde{L} の Seifert circles の数, $s(\tilde{L})$, に関する次のような定理を証明した。

定理(山田[Y]) L を oriented link とし, \tilde{L} を L の 1 つ oriented diagram とする。 $b(L)$ を L の braid index, $s(\tilde{L})$ を \tilde{L} の Seifert circles の個数とする。 $\Rightarrow b(L) = \min_{\tilde{L} \in L} s(\tilde{L})$.

$P_L(v, z)$ を次の(i), (ii)によって定義される 2 変数 Jones 多項式とする。

- (i) しが自明な knot $\Rightarrow P_L(v, z) = 1$
- (ii) L_+, L_-, L_0 は 1 つの交叉点の近くで図 1 のようになり, 他部分では一致しているような 3 つの oriented links とする $\Rightarrow v^{-1}P_{L_+} - vP_{L_-} = zP_{L_0}$

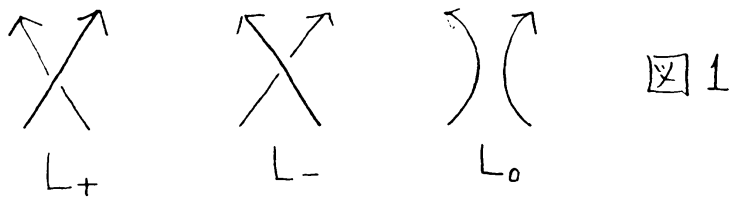


図1

H. Morton [M]は ν に関する P_L の次数, $\deg_\nu P_L$, \tilde{L} の代数的交叉度数, $\tilde{c}(\tilde{L})$, そして $s(\tilde{L})$ 等の間の関係を示した。

定理 (H. Morton [M]) $h\text{-}\deg_\nu P_L$, $l\text{-}\deg_\nu P_L$ を各々 ν に関する $P_L(\nu, z)$ の最高次数と最低次数とする。

$$\Rightarrow \tilde{c}(\tilde{L}) - (s(\tilde{L}) - 1) \leq l\text{-}\deg_\nu P_L \leq h\text{-}\deg_\nu P_L \leq \tilde{c}(\tilde{L}) + (s(\tilde{L}) - 1)$$

ここで \tilde{L} は link L の 1 つの diagram

本論文では上の Morton の不等式を利用してどんな link の diagram の時にその Seifert circles の数が最少になるかを考察する。それがわかれば山田の定理より braid index もわかる。

ν に関する P_L の reduced degree, $\perp\text{-}\deg_\nu P_L$, を
 $\perp\text{-}\deg_\nu P_L = (h\text{-}\deg_\nu P_L) - (l\text{-}\deg_\nu P_L)$ で定義する。

上の Morton の定理によって $\perp\text{-}\deg_\nu P_L \leq 2(s(\tilde{L}) - 1)$ が示される。従って Seifert circles の数の最少を求めるには上の等号がいつ成立するか調べればよい事になる。

注1. $\perp\text{-}\deg_\nu P_L = 2(s(\tilde{L}) - 1)$ が成立

$$\Leftrightarrow l\text{-}\deg_\nu P_L = \tilde{c}(\tilde{L}) - (s(\tilde{L}) - 1) \text{かつ}$$

$h\text{-deg}_v P_L = \tilde{c}(\tilde{L}) + (s(\tilde{L}) - 1)$ が成立。

\tilde{L} を oriented link diagram とし G (α は G_L) を \tilde{L} から導かれる oriented coded graph とする (oriented coded graph については $[K_1]$, $[K_2]$ を参照)。以下で例えば "G = Ga₊", $G_{a+} \cup G_{b-}$ 等と書いた時は G の edges が全て $a+$ -code, $a+$ -code と $b-$ -code である事を示す。oriented link diagram から導かれた oriented coded graph を単に link の graph という事もある。

定義. グラフ G において下図の一方向の R-I, R-II moves 及び両方向の R-III moves が出来ないとき G は R-reduced であるといふ。

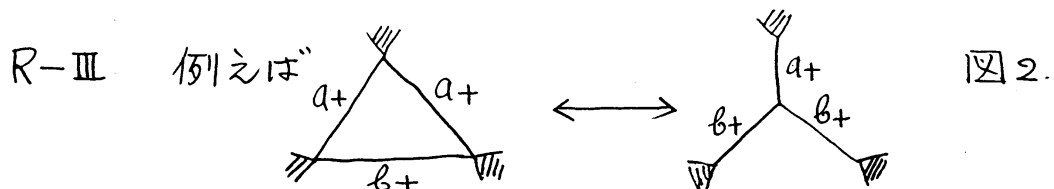
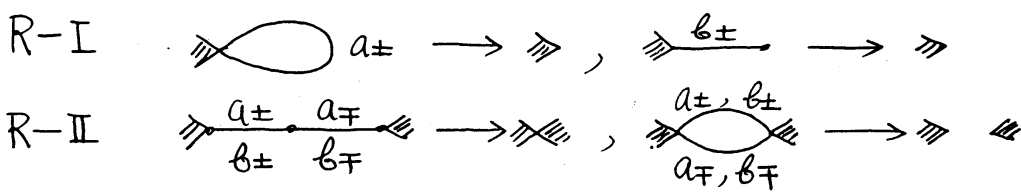
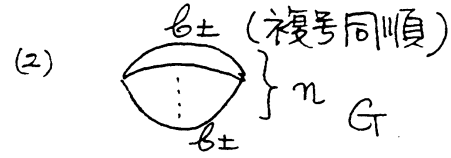
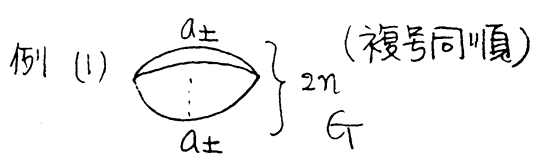


図2.

注2. $G = Ga_+$ 又は Ga_- のときは G に loop がなければ G は R-reduced, また $G = Gb_+$ 又は Gb_- のときは degree 1 の頂点がなければ G は R-reduced, $G = Ga_\pm \cup Gb_\mp$ (複号同順) のときは loop と degree 1 の頂点がなければ R-reduced.



$$(1) \quad P(2na_+) = v^{2n} \left(\frac{v^{-1}-v}{z} \right) + \sum_{i=0}^{n-1} v^{2i} v z$$

$$P(2na_-) = v^{-2n} \left(\frac{v^{-1}-v}{z} \right) + \sum_{i=0}^{n-1} v^{-2i} (-v^{-1}z)$$

 $(n \geq 1)$

$$(2) \quad P(nb_+) = v^2 P((n-2)b_+) + v z P((n-1)b_+) \quad (n \geq 2)$$

$$\text{従って } \begin{pmatrix} P(nb_+) \\ P((n-1)b_+) \end{pmatrix} = \begin{pmatrix} v z & v^2 \\ 1 & 0 \end{pmatrix}^{n-1} \begin{pmatrix} 1 \\ \frac{v^{-1}-v}{z} \end{pmatrix}$$

$$\text{同様に } P(nb_-) = v^{-2} P((n-2)b_-) - v^{-1} z P((n-1)b_-)$$

$$\text{従って } \begin{pmatrix} P(nb_-) \\ P((n-1)b_-) \end{pmatrix} = \begin{pmatrix} -v^{-1}z & v^{-2} \\ 1 & 0 \end{pmatrix}^{n-1} \begin{pmatrix} 1 \\ \frac{v^{-1}-v}{z} \end{pmatrix}$$

$$\text{以上より } h\text{-deg}_v P(2na_+) = 2n+1, \quad l\text{-deg}_v P_L(2na_+) = 1$$

$$l\text{-deg}_v P(2na_+) = 2n, \quad h\text{-deg}_v P(2na_-) = -1, \quad l\text{-deg}_v P(2na_-) = -(2n+1), \quad l\text{-deg}_v P(2na_-) = 2n \quad \text{一方 } s(\tilde{\Gamma}) = 2n \quad \text{従って}$$

$$2(s(\tilde{\Gamma})-1) = 2(2n-1) \quad (2) \text{ の時 } h\text{-deg}_v P(nb_+) = n+1, \\ l\text{-deg}_v P(nb_+) = n-1, \quad h\text{-deg}_v P(nb_-) = -(n-1), \quad l\text{-deg}_v P(nb_-) = -(n+1). \quad \text{従って } l\text{-deg}_v P(nb_\pm) = 2. \quad \text{一方 } s(\tilde{\Gamma}) = 2.$$

故に $l\text{-deg}_v P(nb_\pm) = 2(s(\tilde{\Gamma})-1)$ 以上より (2) のグラフを持った link diagram の Seifert circles の数は最大である事がわかる。 (1) のグラフを持った link diagram の Seifert circles の数は $n \geq 2$ の時最小を与えているか否か不明であるが以下

の定理2より positive(又は negative) link diagram 中で最も Seifert circles 数をもつてゐる事がわかる。

定理1. G を oriented link diagram \tilde{L} のグラフとする。
 $G = G_{B+}$ 又は G_{B-} で G の全ての edges が multi-edges である(従って G は R-reduced) $\Rightarrow l - \deg_v P_L = s(\tilde{L}) - 1$. $T = T'$ し L は \tilde{L} が属する oriented link type. 従ってこの時 Seifert circles の数は最も。

定理2. \tilde{L} を R-reduced oriented positive (resp. negative) alternating diagram とするとき $s(\tilde{L})$ は \tilde{L} が属する link L の全ての positive (resp. negative) diagram 中最も Seifert circles 数を表わしている。実際次の事を証明する。

(I) \tilde{L} を R-reduced oriented positive alternating diagram とする $\Rightarrow s(\tilde{L}) = c(\tilde{L}) + 1 - (l - \deg_v P_L)$

(II) \tilde{L} を R-reduced oriented negative alternating diagram とする $\Rightarrow s(\tilde{L}) = (h - \deg_v P_L) + 1 - c(\tilde{L})$.

H. Morton [M2] で closed braid に関する同様の結果を得てある。

§1. 定理の証明

Lemma 1. 次の2つの条件を両方共充たす S^2 (又は平面) 上のグラフ G は存在しない。

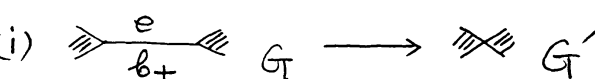
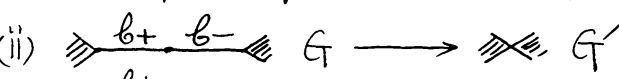
(i) 全ての頂点の次数が4以上かつ

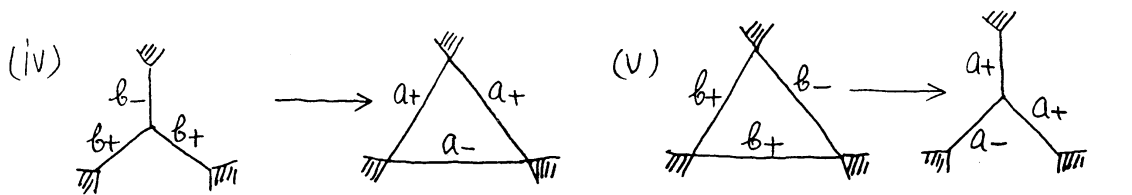
(ii) $S^2 - G$ の全ての多邊形が4つ以上の辺をもつ。

Proof. 集合 X の元の個数を $\#X$ と書き, $V(G)$, $E(G)$, $R(G)$ を各々 G の頂点の集合, 辺の集合, $S^2 - G$ の領域の集合とする。 G が上の2つの条件を満足しているとすると $4\#V(G) \leq 2\#E(G)$, $4\#R(G) \leq 2\#E(G)$ 。平面グラフに関するオイラーの定理より $2 = \#V(G) - \#E(G) + \#R(G) \leq \frac{1}{2}\#E(G) - \#E(G) + \frac{1}{2}\#E(G) = 0$ これは矛盾。従って結果が導かれる。

Lemma 2. G (resp. G') を oriented link diagram \tilde{L} (resp. \tilde{L}') のグラフとする。次の図3のような G から G' への変形によって \tilde{L} と \tilde{L}' は同じ link type を表現し, 代数的交叉点数及び Seifert circles の数の変化は次のようである。

(I) G の辺の code が図3に現われる所以外は全て $b+$ の時

- (i)  $G \longrightarrow G'$
- (ii)  $G \longrightarrow G'$
- (iii)  $G \longrightarrow G'$



(i) e は G の cut edge $\Rightarrow \tilde{c}(\tilde{L}) = \tilde{c}(\tilde{L}') + 1, s(\tilde{L}) = s(\tilde{L}') + 1$

(ii) R-II move $\tilde{c}(\tilde{L}) = \tilde{c}(\tilde{L}'), s(\tilde{L}) = s(\tilde{L}') + 2$

(iii) R-II move $\tilde{c}(\tilde{L}) = \tilde{c}(\tilde{L}'), s(\tilde{L}) = s(\tilde{L}')$

(iv) R-III move $\tilde{c}(\tilde{L}) = \tilde{c}(\tilde{L}'), s(\tilde{L}) = s(\tilde{L}') + 2$

(v) R-III move $\tilde{c}(\tilde{L}) = \tilde{c}(\tilde{L}'), s(\tilde{L}) = s(\tilde{L}') + 2$

(II) G の辺の code が図 3 に現われる所以外は全て $b-$ で、上の

(i)-(v) の図で + と - を入れ変えたものを $(i)'-(v)'$ とする。

$(i)'$ の時 $\tilde{c}(\tilde{L}) = \tilde{c}(\tilde{L}') - 1, s(\tilde{L}) = s(\tilde{L}') + 1$

$(ii)'-(v)'$ については上の $(ii)-(v)$ と同じ。

証明 (i) と $(ii)'$ は $|e|$ にては、 e 本 G の cut edge だから R-I move が出来るか 2 つの links の連結和になっている。辺 e に対応する交叉点の所で 1 つの link を回転せらる事によりグラフが G' であるような link を得る。 $(ii)-(v), (ii)'-(v)'$ は $|e|$ にては G から G' への変形は Reidemeister move に対応しているから \tilde{L} と \tilde{L}' は ambient isotopic である。代数的交叉点数の変化は図より明らか。 G の辺の code が全て b の時は Seifert circle は G の頂点に対応しているからその個数の変化も図より明らか //

Lemma 3. $G, G', \tilde{L}, \tilde{L}'$ は lemma 2 と同じとする。

$l\text{-deg}_v P_{\tilde{L}'} = \tilde{c}(\tilde{L}') - (s(\tilde{L}') - 1)$, $h\text{-deg}_v P_{\tilde{L}'} = \tilde{c}(\tilde{L}') + (s(\tilde{L}') - 1)$ が成立しているとする。すると次が成立する。 $(i)-(v), (i)'-(v)'$ は lemma 2 の同じ番号に対応しているとする。

$$(i) \quad l\text{-deg}_v P_{\tilde{L}} = l\text{-deg}_v P_{\tilde{L}'} = \tilde{c}(\tilde{L}) - (s(\tilde{L}) - 1)$$

$$h\text{-deg}_v P_{\tilde{L}} = h\text{-deg}_v P_{\tilde{L}'} = \tilde{c}(\tilde{L}) + (s(\tilde{L}) - 1) - 2$$

$$(ii) \quad l\text{-deg}_v P_{\tilde{L}} = l\text{-deg}_v P_{\tilde{L}'} = \tilde{c}(\tilde{L}) - (s(\tilde{L}) - 1) + 2$$

$$h\text{-deg}_v P_{\tilde{L}} = h\text{-deg}_v P_{\tilde{L}'} = \tilde{c}(\tilde{L}) + (s(\tilde{L}) - 1) - 2$$

$$(iii) \quad l\text{-deg}_v P_{\tilde{L}} = l\text{-deg}_v P_{\tilde{L}'} = \tilde{c}(\tilde{L}) - (s(\tilde{L}) - 1)$$

$$h\text{-deg}_v P_{\tilde{L}} = h\text{-deg}_v P_{\tilde{L}'} = \tilde{c}(\tilde{L}) + (s(\tilde{L}) - 1)$$

(iv), (v) の時は (ii) と同じ結果が起る。

$$(i)' \quad l\text{-deg}_v P_{\tilde{L}} = l\text{-deg}_v P_{\tilde{L}'} = \tilde{c}(\tilde{L}) - (s(\tilde{L}) - 1) + 2$$

$$h\text{-deg}_v P_{\tilde{L}} = h\text{-deg}_v P_{\tilde{L}'} = \tilde{c}(\tilde{L}) + (s(\tilde{L}) - 1)$$

$$(ii)' \quad l\text{-deg}_v P_{\tilde{L}} = l\text{-deg}_v P_{\tilde{L}'} = \tilde{c}(\tilde{L}) - (s(\tilde{L}) - 1) + 2$$

$$h\text{-deg}_v P_{\tilde{L}} = h\text{-deg}_v P_{\tilde{L}'} = \tilde{c}(\tilde{L}) + (s(\tilde{L}) - 1) - 2$$

$$(iii)' \quad l\text{-deg}_v P_{\tilde{L}} = l\text{-deg}_v P_{\tilde{L}'} = \tilde{c}(\tilde{L}) - (s(\tilde{L}) - 1)$$

$$h\text{-deg}_v P_{\tilde{L}} = h\text{-deg}_v P_{\tilde{L}'} = \tilde{c}(\tilde{L}) + (s(\tilde{L}) - 1)$$

(iv)', (v)' の時は (ii)' と同じ結果が起る。

証明、2変数 Jones 多項式は ambient isotopy invariant である事と lemma 2 から証明される。

定理1の証明 (I) $G = G_{B+}$ の時 次のような G の resolution を作る (A) multi-edges の部分を次々と crossing change & smoothing を行ない multi-edges の部分が b_+ codeを持つ single edge か辺がないう状態に繋げる。

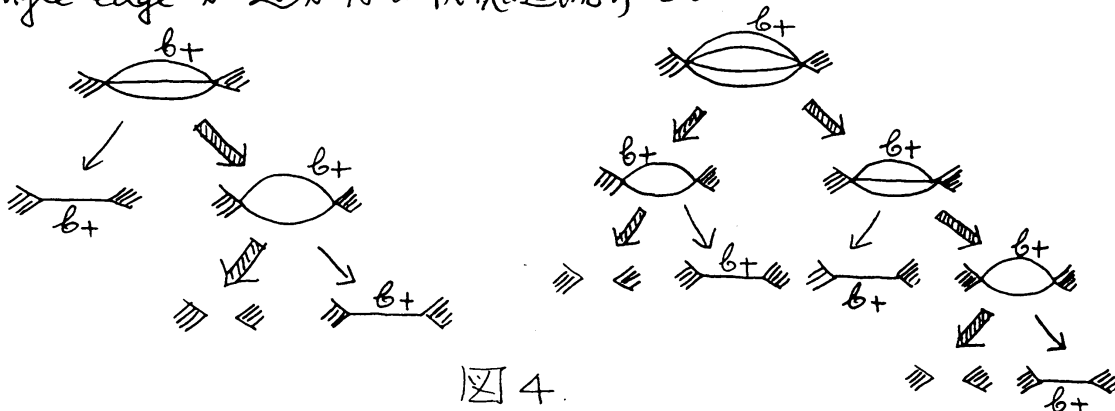


図4.

(図4で太い矢印は $\text{L-deg}_v P_L = 2(s(\tilde{L}) - 1)$ を保つている branch 後述). この操作を G の全ての multi-edge の部分で行なうと resolution の bottom-most では b_+ -code を持つ simple graph と頂点のみから成るグラフ (=自明なグラフ) の disjoint union となる。このようなグラフの連結部分グラフを G_1 とする。

(B) G_1 が 1 つの頂点でないうなら lemma 1 から次のいずれかが起る。 (i) G_1 は cut edge をもつ (ii) 次数が 3 以下の頂点がある, (iii) $S^2 - G_1$ に少なくとも 1 つ三角形がある。 (i)もし cut edge があると lemma 2(i) と lemma 3(i) より $\text{L-deg}_v P_{\tilde{L}} < 2(s(\tilde{L}_1) - 1)$, (ii) もし次数が 3 以下の頂点をもつと lemma 2(ii), (iv) と lemma 3(iii), (iv) より $\text{L-deg}_v P_{\tilde{L}} < 2(s(\tilde{L}_1) - 1)$. (iii)もし G_1 が三角形をもてば lemma 2(v) と lemma 3(v) より

$\Sigma - \deg_v P_{\tilde{L}_1} < 2(s(\tilde{L}_1) - 1)$ 従って上の resolution で $h-\deg_v P_L = 2(s(\tilde{L}) - 1)$ を保っている branch は bottom-most graph の連結成分が頂点 即ち自明なグラフとなる branch のみである。そして n 口の成分をもつ trivial link L_0 の R-reduced diagram \tilde{L}_0 （そのグラフは n 口の頂点からなる自明なグラフ）に関しては $h-\deg_v P_{L_0} = 2(n-1) = 2(s(\tilde{L}_0) - 1)$ が成立している。上の resolution に対して

$$P_L = \sum_{i=1}^m v^{2k_i} (vz)^{s_i} \left(\frac{v-1}{z} \right)^{k_i-1} \quad \text{とかけよ。}$$

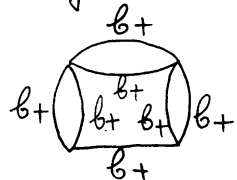
ただし L_i ($i=1, 2, \dots, m$) は k_i 口の成分をもつ bottom-most trivial link で L から L_i ($\forall i$ は G から G_i) へ上回の positive crossing change s_i 回の smoothing を行なって到達すると仮定している。上の和 \sum において係数の正負の符号を打ち消し合う可能性があるのは $\left(\frac{v-1}{z} \right)^{k_i-1}$ の -1 か 1 係りしている所のみである。従って $l-\deg_v P_L$ を与える項には cancelling は起らなければ、 $h-\deg_v P_L$ を与える項は図 4 の太い矢印の branch であり、そこでの bottom-most trivial link のグラフは R-reduced である $k_i = \max_{1 \leq j \leq m} \{k_j\} = \#V(G)$ (-定) それ故 $h-\deg_v P_L$ の項でも cancelling が起らなければ。実際 (n_1, n_2, \dots, n_p) を multi-edge の p 対とすると図 4 の resolution によると $h-\deg_v P_L = (n_1 + n_2 + \dots + n_p) + (\#V(G) - 1)$

$$l-\deg_v P_L = (n_1 + n_2 + \dots + n_p) - (\#V(G) - 1)$$

従って $\text{L-deg}_v P_L = 2(\#V(G) - 1) = 2(s(\tilde{L}) - 1)$ が示される。

(II) $G = G_{\beta^-}$ の時 \tilde{L} を G から得られる oriented link diagram とし $\tilde{L}!$ を L の全ての交叉点の上下を入れかえて出来る oriented link diagram とする。 $\tilde{L}!$ は \tilde{L} の mirror image であり $\tilde{L}!$ のグラフ $G!$ の辺の code は全て $b+$ 。従って $P_{\tilde{L}}(v, z) = P_{\tilde{L}!}(-v^!, z)$ である $h\text{-deg}_v P_{\tilde{L}} = (-1) \times (l\text{-deg}_v P_{\tilde{L}!})$, $l\text{-deg}_v P_{\tilde{L}} = (-1) \times (h\text{-deg}_v P_{\tilde{L}!})$ それ故に $r\text{-deg}_v P_L = (h\text{-deg}_v P_{\tilde{L}}) = (-1) \times (l\text{-deg}_v P_{\tilde{L}!}) + (h\text{-deg}_v P_{\tilde{L}!}) = r\text{-deg}_v P_{\tilde{L}!} = 2(s(\tilde{L}!) - 1) = 2(s(\tilde{L}) - 1)$ \square

例1.2 次の例は定理 1 の multi-edges に関する条件は一般に必要である事を示している。link L の oriented link diagram \tilde{L} のグラフが図5で与えられているとする。



すると $h\text{-deg}_v P_L = 8$, $l\text{-deg}_v P_L = 4$.

従って $r\text{-deg}_v P_L = 4$ 一方 $s(\tilde{L}) = 4$.

$$\therefore r\text{-deg}_v P_L < 2(s(\tilde{L}) - 1).$$

定理2の証明 (I) \tilde{L} は R -reduced oriented positive alternating diagram だから \tilde{L} の code graph G は $G = G_{\beta^+}$ で cut edge をもつていないと仮定してよい。(A) 1段、図4と同じ G の resolution を取る。すると bottom-most graph

そして simple graph と trivial graph の union を得る。

Lemma 2(i) の変形を使って R-reduced graph を得る。 G_1 を
そのようなグラフとすると G_1 は cut edge のない simple graph
と trivial graph の union で辺の code は全て $b+$ 。

(B) 第2段 上の G_1 の連結成分を改めて G_1' とおく。 G_1' が自明
でないグラフ（即ち辺を持てない）なら Lemma 1 によって
次の3つの場合のいずれかが起る。(1) 次数が2の頂点がある
(2) 次数が3の頂点がある。(3) G_1' が三角形を含む。(1) の時は
図6の resolution を行ない G_2 に lemma 2(ii) の変形を行ない

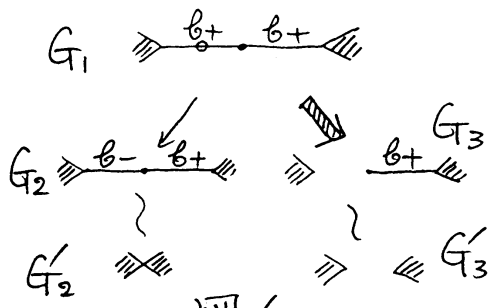


図6.

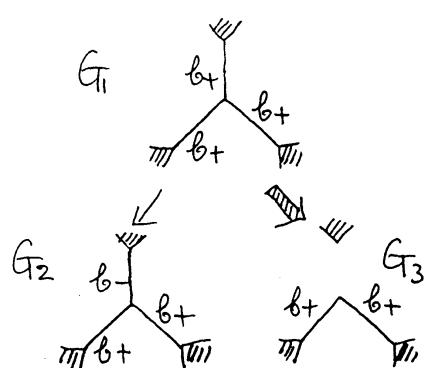
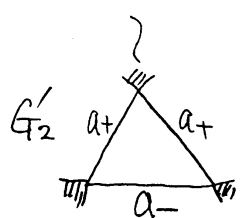
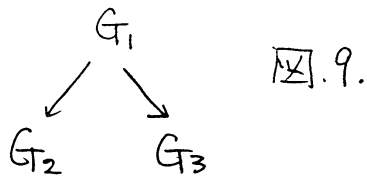
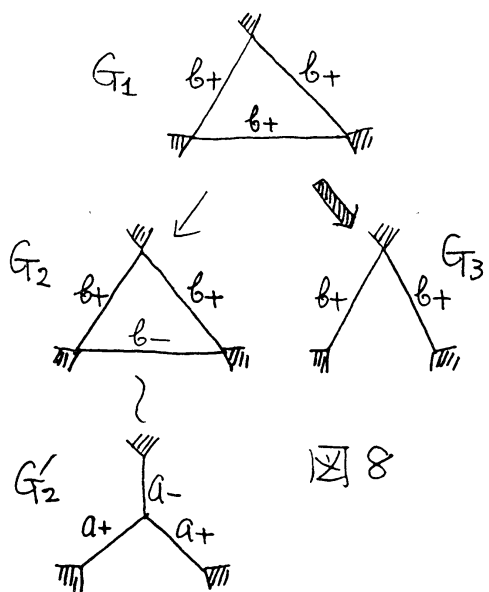


図7



G_3 には lemma 2(i) の変形を行なう。
(2) の場合には図7のような
resolution を行なう。そして G_2
には lemma 2(iv) の変形を行な
い、 G_3 は上の(1)と同じ扱いをす
る。(3) の場合には図8のような
resolution を行ない、 G_2 には
lemma 2(v) の変形を行なう。
 G_3 に関しては今迄の方法を繰り
返す。この方法を bottom-most
link が trivial link になる迄繰
り返す。trivial link の R-reduced



graphにおいては $h\text{-deg}_v P_L = \tilde{c}(\tilde{L}) + (s(\tilde{L}) - 1)$, $l\text{-deg}_v P_L = \tilde{c}(\tilde{L}) - (s(\tilde{L}) - 1)$ が成立してい
る。上のresolutionにおいて図

9のようなグラフの3対を考える。 $l\text{-deg}_v P_L = \tilde{c}(\tilde{L}_i) - (s(\tilde{L}_i) - 1)$ ($i=2$ or 3) (\tilde{L}_i は graph G_i に対応する link diagram) と仮定すると $l\text{-deg}_v P_{\tilde{L}_1} = \tilde{c}(\tilde{L}_1) - (s(\tilde{L}_1) - 1)$ 何故なら全ての crossing change と smoothing は $b+$ code の形で行なわれるるので定理1の証明の時と同じに

$$P_L = \sum_{i=1}^m v^{2x_i} (vz)^{s_i} \left(\frac{v-1}{z} \right)^{k_i-1} \quad \text{とかけよ。}$$

従って $l\text{-deg}_v P_L$ を計算するとき係数の正負による打ち消しは考慮しなくてよい。よって $l\text{-deg}_v P_{\tilde{L}_1} = \min(l\text{-deg}_v P_{\tilde{L}_2} + 2, l\text{-deg}_v P_{\tilde{L}_3} + 1)$ 。一方 $\tilde{c}(\tilde{L}_1) = \tilde{c}(\tilde{L}_2) + 2 = \tilde{c}(\tilde{L}_3) + 1$, $s(\tilde{L}_1) = s(\tilde{L}_2) = s(\tilde{L}_3)$ だから $l\text{-deg}_v P_{\tilde{L}_i} = \tilde{c}(\tilde{L}_i) - (s(\tilde{L}_i) - 1)$ ($i=2$ or 3) から $l\text{-deg}_v P_{\tilde{L}_1} = \tilde{c}(\tilde{L}_1) - (s(\tilde{L}_1) - 1)$ が成立。そこで上のresolutionにおいて G が lemma 2 (i), (iii) の変形のみを用いて bottom-most trivial link に到達する branch があれば $l\text{-deg}_v P_L = \tilde{c}(\tilde{L}) - (s(\tilde{L}) - 1)$ が成立する。実際図6, 7, 8

の太い矢印をたどれば良いから $l\text{-deg}_v P_L = \tilde{c}(\tilde{L}) - (s(\tilde{L}) - 1)$ が成立する。今定理の仮定から positive diagram のみを考えればよいか Morton の定理より $s(\tilde{L}) \geq \tilde{c}(\tilde{L}) + 1 - (l\text{-deg}_v P_L) = c(\tilde{L}) + 1 - (l\text{-deg}_v P_L)$ ここで $c(\tilde{L})$ は \tilde{L} の交叉点数。そして $c(\tilde{L})$ は reduced alternating diagram の阶で最小となるそして Morton の不等式は上の議論により等号となるから $s(\tilde{L})$ は L の全ての positive diagram の Seifert circles 数のうちで最大を表す。

(II) $G = G_{\theta^-}$ の時 lemma 2 (II) (i)'-(v)' & lemma 3 (i)'-(v)' & Morton の不等式 $h\text{-deg}_v P_L \leq \tilde{c}(\tilde{L}) + (s(\tilde{L}) - 1)$ を使えばよ

References

- [FYHLM0] Freyd, Yetter, Hoste, Lickorish, Millett and Ocneanu, "A new polynomial invariant of knots and links," Bull. A.M.S. 12 (1985) 239-246.
- [K₁] Kobayashi, K, "グラフと絡み輪輪に関する多項式" 数理解析研究講究録 566 (1985) 130-144
- [K₂] Kobayashi, K, "Coded graph of oriented links and Homfly polynomial" to appear in North Holland Math.

Studies "Topology and Computer Science"

[M₁] Morton, H, "Seifert circles and knot polynomials"
to appear

[M₂] —————, "Closed braid representatives for a link
and its 2-variable polynomial." to appear.

[Mu] Murasugi, K, "Jones polynomials and classical
conjectures in knot theory" to appear

[Y] Yamada, S, "The minimal number of Seifert circles
equals the braid index of a link, to appear